

УДК 539.374

© 1994 г. О. А. ВОЛОХОВСКАЯ, В. В. ПОДАЛКОВ

К РАСЧЕТУ УПРУГОПЛАСТИЧЕСКИХ ДЕФОРМАЦИЙ В СТОХАСТИЧЕСКИХ КОМПОЗИЦИОННЫХ СРЕДАХ

Предложен метод расчета упругопластических деформаций в стохастических композиционных средах, компоненты которых подчиняются изотропному закону упрочнения с соответствующим ассоциированным законом течения. Макроскопическое реологическое уравнение композита получено в предположении, что поверхности нагружения составляющих зависят от средних напряжений в этих компонентах. Проведено сопоставление расчетных и экспериментальных кривых деформирования для медно-вольфрамовой композиции при растяжении. Поведение предложенной модели при непропорциональном нагружении проверялось путем вычисления продольного модуля догрузки под некоторым углом к оси предварительного растяжения в пластической области. Модели стохастических упругопластических сред на основе иных подходов рассматривались в [1—3].

1. Рассмотрим микронеоднородную среду, состоящую из равномерно перемещенных идеально сцепленных между собой однородных и изотропных составляющих. Пусть $q = 1, \dots, m$ — упругие компоненты, а $q = m + 1, \dots, n$ — упругопластические. В каждой точке композиционного материала выполнен локальный закон Гука

$$s_{ij}^{(q)} = 2\mu_q (e_{ij}^{(q)} - \varepsilon_{ij}^{(q)}), \quad \sigma_{ij}^{(q)} = 3K_q E_{ij}^{(q)} \quad (1.1)$$

где $S_{ij}^{(q)}, e_{ij}^{(q)}$ — девиаторы локальных напряжений $\sigma_{ij}^{(q)}$ и полных деформаций $E_{ij}^{(q)}$, $\varepsilon_{ij}^{(q)}$ — пластические деформации ($e_{ij}^{(q)} = 0$); причем $\varepsilon_{ij}^{(q)} = 0$ при $q = 1, \dots, m$.

Будем полагать, что в упругопластической области элементы композиции подчиняются изотропному закону упрочнения. Тогда уравнение поверхности нагружения для q -го ($q = m + 1, \dots, n$) компонента можно задать в виде [4]:

$$f_q(s_{ij}^{(q)}) = \Phi_q(\gamma_q) \quad (1.2)$$

Здесь Φ_q — возрастающая функция меры изотропного упрочнения γ_q , f_q — функция инвариантов девиатора локальных напряжений; γ_q может быть определено, например, соотношениями

$$\gamma_{q1} = \int s_{ij}^{(q)} d\varepsilon_{ij}^{(q)} \quad (1.3)$$

$$\gamma_{q2} = \int \sqrt{2d\varepsilon_{ij}^{(q)} d\varepsilon_{ij}^{(q)}} \quad (1.4)$$

где в (1.3) γ_q соответствует работе пластической деформации, а в (1.4) — параметру Одквиста.

Ассоциированный с (1.2) закон течения будет иметь вид

$$d\varepsilon_{ij}^{(q)} = g_q \frac{\partial f_q}{\partial s_{ij}^{(q)}} d'f_q, \quad d'f_q > 0$$

$$d\varepsilon_{ij}^{(q)} = 0, \quad d'f_q \leq 0 \quad (d'f_q = \frac{\partial f_q}{\partial s_{ij}^{(q)}} ds_{ij}^{(q)}) \quad (1.5)$$

где $g_q(\gamma_q)$ — функция упрочнения, зависящая от истории деформирования q -го компонента. Очевидно, что $g_q > 0$.

При выборе меры упрочнения в соответствии (1.3), (1.4) найдем:

$$g_{q1} = (\varphi_q' s_{ij}^{(q)} \partial f_q / \partial s_{ij}^{(q)})^{-1} \quad (1.6)$$

$$g_{q2} = (\varphi_q' \partial f_q / \partial s_{ij}^{(q)} \partial f_q / \partial s_{ij}^{(q)})^{-1} \quad (1.7)$$

Из (1.5) определим зависимость между приращениями пластических деформаций и девиатора напряжений в q -м упругопластическом компоненте среды:

$$d\varepsilon_{ij}^{(q)} = \Phi_{ijkl}^{(q)} ds_{kl}^{(q)} \quad (q = m + 1, \dots, n) \quad (1.8)$$

$$\Phi_{ijkl}^{(q)}(s_{ij}^{(q)}) = \xi_q g_q \partial f_q / \partial s_{ij}^{(q)} \partial f_q / \partial s_{kl}^{(q)} \quad (1.9)$$

где $\xi_q = 1$ при $d'f_q > 0$ и $\xi_q = 0$ при $d'f_q \leq 0$.

Тензор $\Phi_{ijkl}^{(q)}$ зависит от предыстории деформирования q -й составляющей через $g_q(\gamma_q)$ и текущего значения девиатора локальных напряжений $s_{ij}^{(q)}$.

Пространственную структуру композита опишем с помощью случайных индикаторных функций координат $\chi_q(\mathbf{r})$ ($q = 1, \dots, n$), принимающих значение 1 на множестве точек q -го компонента и 0 — вне этого множества. Тогда локальный закон Гука для рассматриваемой среды запишется в виде

$$s_{ij}(\mathbf{r}) = 2\mu(\mathbf{r})(e_{ij}(\mathbf{r}) - \varepsilon_{ij}(\mathbf{r})), \quad \sigma_{jj}(\mathbf{r}) = 3K(\mathbf{r})E_{jj}(\mathbf{r}) \quad (1.10)$$

$$\mu(\mathbf{r}) = \sum_{q=1}^n \mu_q \chi_q(\mathbf{r}), \quad K(\mathbf{r}) = \sum_{q=1}^n K_q \chi_q(\mathbf{r})$$

$$\chi_q(\mathbf{r}) \varepsilon_{ij}(\mathbf{r}) \equiv 0 \quad (q = 1, \dots, m)$$

Будем предполагать, что все рассматриваемые случайные поля $s_{ij}(\mathbf{r})$, $e_{ij}(\mathbf{r})$, $\varepsilon_{ij}(\mathbf{r})$ и $\chi_q(\mathbf{r})$ статистически однородны и эргодичны. Тогда их математические ожидания могут быть заменены средними по объемам компонентов (V_q) и композита (V) величинами.

В каждой точке композита уравнения состояния (1.10) должны быть дополнены уравнениями равновесия $\nabla_j \sigma_{ij}(\mathbf{r}) = 0$, где ∇_j — оператор дифференцирования по j -й координате. Подставляя в них соотношения (1.10) и преобразуя полученные дифференциальные уравнения относительно перемещений u_j ($2E_{ij} = \nabla_j u_i + \nabla_i u_j$) в интегральные с помощью функции Грина однородной бесконечной среды [5] в рамках гипотезы сингулярного приближения найдем для произвольной точки композита

$$e_{ij}(\mathbf{r}) = \langle e_{ij} \rangle + \alpha_0 [Q_{ij}(\mathbf{r}) - \langle Q_{ij} \rangle] \quad (1.11)$$

$$E_{jj}(\mathbf{r}) = \langle E_{jj} \rangle + \beta_0 P(\mathbf{r})$$

$$Q_{ij}(\mathbf{r}) = e_{ij}(\mathbf{r}) - \sum_{q=1}^n m_q \chi_q(\mathbf{r}) [e_{ij}(\mathbf{r}) - \varepsilon_{ij}(\mathbf{r})]$$

$$\langle Q_{ij} \rangle = \langle s_{ij} \rangle (2\mu_0)^{-1} - \langle e_{ij} \rangle = E_{ij}$$

$$P(\mathbf{r}) = E_{jj}(\mathbf{r}) - \sum_{q=1}^n k_q(\mathbf{r}) \chi_q(\mathbf{r}) E_{jj}(\mathbf{r}) \quad (1.12)$$

$$\alpha_0 = \frac{2(4 - 5\nu_0)}{15(1 - \nu_0)}, \quad \beta_0 = \frac{1 + \nu_0}{3(1 - \nu_0)}, \quad \nu_0 = \frac{3K_0 - 2\mu_0}{3(\mu_0 + 3K_0)}$$

где $m_q = \mu_q \mu_0^{-1}$, $k_q = K_q K_0^{-1}$, E_{ij} — макроскопические пластические деформации;

μ_0, K_0 — эффективные упругие константы материала, введенные с помощью соотношений

$$\langle s_{ij} \rangle = 2\mu_0 (\langle e_{ij} \rangle - E_{ij}), \langle \sigma_{jj} \rangle = 3K_0 \langle E_{jj} \rangle \quad (1.13)$$

Из (1.12) и (1.11) для q -го компонента найдем

$$e_{ij}^{(q)} = \langle e_{ij} \rangle + \alpha_0 [\varepsilon_{ij}^{(q)} - m_q (e_{ij}^{(q)} - \varepsilon_{ij}^{(q)}) - \langle e_{ij} \rangle + \langle s_{ij} \rangle (2\mu_0)^{-1}]$$

$$E_{ij}^{(q)} = \langle E_{ij} \rangle + \beta_0 (1 - k_q) E_{ij}^{(q)} \quad (1.14)$$

$$\varepsilon_{ij}^{(q)} = 0 \quad (q = 1, \dots, m)$$

Разрешая соотношения (1.14) относительно $e_{ij}^{(q)}$ и $E_{ij}^{(q)}$, из (1.1) получим

$$S_{ij}^{(q)} = 2\mu_0 m_q^\circ [\eta_{ij} - (1 - \alpha_0) \varepsilon_{ij}^{(q)}], \sigma_{jj}^{(q)} = 3K_0 k_q^\circ \langle E_{jj} \rangle$$

$$\varepsilon_{ij}^{(q)} = 0 \quad (q = 1, \dots, m) \quad (1.15)$$

$$\eta_{ij} = (1 - \alpha_0) \langle e_{ij} \rangle + \alpha_0 \langle s_{ij} \rangle (2\mu_0)^{-1} \quad (1.16)$$

$$m_q^\circ = m_q [1 + \alpha_0 (m_q - 1)]^{-1}, k_q^\circ = k_q [1 + \beta_0 (k_q - 1)]^{-1}$$

Переходя далее от девиаторов конечных величин к их приращениям и обозначая $\dot{a} = da$, из (1.15) с учетом (1.8) найдем:

$$\dot{s}_{ij}^{(q)} = 2\mu_0 \Psi_{ijkl}^{(q)} \dot{\eta}_{kl} \quad (1.17)$$

$$\Psi_{ijkl}^{(q)} = m_q^\circ [I_{ijkl} + 2\mu_0 (1 - \alpha_0) m_q^\circ \Phi_{ijkl}^{(q)}]^{-1} \quad (1.18)$$

$$I_{ijkl} = (\delta_{ij}\delta_{kl} + \delta_{ik}\delta_{jl})/2$$

где δ_{ij} — тензор Кронеккера, $\Phi_{ijkl}^{(q)}$ определяется соотношением (1.9). Для объемной составляющей локальных напряжений имеем соотношение упругости

$$\sigma_{ij}^{(q)} = \langle \sigma_{ij} \rangle [1 + \beta_0 (k_q - 1)]^{-1} \quad (1.19)$$

Для определения макроскопического реологического уравнения соотношение (1.17) нужно осреднить по всему объему композита с учетом того обстоятельства, что тензор $\Psi_{ijkl}^{(q)}$ зависит от локального напряженного состояния среды и всей предыстории деформирования. Для упрощения разрешимости осредненного уравнения предположим, что уравнение поверхности нагружения q -го компонента (1.2) зависит от средних значений девиатора напряжений $\langle s_{ij} \rangle_q$ в этом компоненте, где символ $\langle \rangle_q$ означает осреднение по объему V_q . Тогда тензорные функции $\Phi_{ijkl}^{(q)}$ и $\Psi_{ijkl}^{(q)}$ также зависят лишь от инвариантов $\langle s_{ij} \rangle_q$.

Поскольку рассматриваемая модель использует предположения теории течения, т. е. ставит своей задачей определение связи между напряжениями и деформациями при малой догрузке относительно существующего напряженного состояния, то макроскопические и средние в компонентах напряжения и деформации $\langle s_{ij} \rangle$, $\langle e_{ij} \rangle$, $\langle E_{ij} \rangle$, E_{ij} , $\langle s_{ij} \rangle_q$, $\langle e_{ij} \rangle_q$, $\langle E_{ij} \rangle_q$, $\langle \varepsilon_{ij} \rangle_q$ считаются известными, а величины $\Phi_{ijkl}^{(q)}$, $\Psi_{ijkl}^{(q)}$ имеют некоторые фиксированные значения.

Осредняя локальные напряжения композита по объему тела V , применив правило механического смешивания компонентов, получим

$$\langle \dot{s}_{ij} \rangle = \sum_{q=1}^n v_q \langle \dot{s}_{ij} \rangle_q, \langle \dot{\sigma}_{jj} \rangle = \sum_{q=1}^n v_q \langle \dot{\sigma}_{jj} \rangle_q \quad (1.20)$$

где $v_q = V_q V^{-1}$ ($q = 1, \dots, n$) — объемные концентрации составляющих.

Без ограничения общности можно считать, что при догрузке напряжениями $\langle \dot{\sigma}_{ij} \rangle$ первые $q = 1, \dots, p \geq m$ составляющих деформируются упруго. Это возможно

в двух случаях: деформирование при локальных напряжениях ниже предела текучести данного компонента, либо разгрузка или нейтральное нагружение первоначально пластически деформированной составляющей ($q > m$), так что

$$\frac{\partial f_q}{\partial \langle s_{ij} \rangle_q} \langle \dot{s}_{ij} \rangle_q \leq 0, \quad \xi_q = 0, \quad \Phi_{ijkl}^{(q)} = 0 \quad (1.21)$$

Тогда из (1.15)—(1.21) будем иметь

$$\begin{aligned} \langle \dot{s}_{ij} \rangle &= 2\mu_0 m_q^0 \dot{\eta}_{ij} \quad (q = 1, \dots, p) \\ \langle \dot{s}_{ij} \rangle &= 2\mu_0 \Psi_{ijkl}^{(q)} \dot{\eta}_{kl} \quad (q = p + 1, \dots, n) \end{aligned} \quad (1.22)$$

$$\langle \sigma_{ij} \rangle = 3K_0 k_q^0 \langle E_{ij} \rangle \quad (q = 1, \dots, n)$$

Из (1.22) и (1.20) найдем

$$\langle \dot{s}_{ij} \rangle = 2\mu_0 A_{ijkl} \dot{\eta}_{kl} \quad (1.23)$$

$$A_{ijkl} = I_{ijkl} \sum_{q=1}^n m_q^0 v_q + \sum_{q=p+1}^n \Psi_{ijkl}^{(q)} v_q \quad (1.24)$$

Подставляя далее $\dot{\eta}_{ij}$ из (1.16) в (1.23) и разрешая последнее соотношение относительно $\langle \dot{s}_{ij} \rangle$, получим макроскопическое уравнение упругопластического деформирования композиционного материала:

$$\begin{aligned} \langle \dot{s}_{ij} \rangle &= 2M_{ijkl} \langle \dot{\epsilon}_{kl} \rangle \\ M_{ijkl} &= \mu_0 (1 - \alpha_0) [I_{ijmn} - \alpha_0 A_{ijmn}]^{-1} A_{mnlk} \end{aligned} \quad (1.25)$$

Для объемной составляющей напряжений найдем соотношение

$$\langle \sigma_{ij} \rangle = 3K_0 \sum_{q=1}^n k_q^0 v_q \langle E_{ij} \rangle \quad (1.26)$$

Уравнения для эффективных упругих констант композита получим из (1.15), (1.26) и (1.13) в предположении, что пластические деформации в среде отсутствуют. После тождественных преобразований будем иметь

$$\sum_{q=1}^n v_q [1 + \alpha_0 (m_q - 1)]^{-1} = 1, \quad \sum_{q=1}^n v_q [1 + \beta_0 (k_q - 1)]^{-1} = 1 \quad (1.27)$$

$$\alpha_0 = \frac{6(K_0 + 2\mu_0)}{5(3K_0 + 4\mu_0)}, \quad \beta_0 = \frac{3K_0}{(3K_0 + 4\mu_0)}$$

Соотношения (1.27) совпадают с известными уравнениями самосогласованной схемы осреднения [5].

Макроскопические пластические деформации в материале найдем из (1.20) с учетом соотношений (1.16), (1.27), и (1.13):

$$E_{ij} = \sum_{q=p+1}^n m_q^0 v_q \langle \dot{\epsilon}_{ij} \rangle_q \quad (1.28)$$

Система уравнений (1.25)—(1.28) полностью описывает макроскопическое поведение композиционного материала в упругопластической области при заданных функциях f_q , φ_q ($q = 1, \dots, n$).

2. Применение предложенной модели проиллюстрируем на примере простого нагружения композиционного материала. Примем, что уравнения поверхностной нагружения компонентов зависят лишь от квадратичных инвариантов $\langle s_{ij} \rangle_q$:

$$f_q (\langle s_{ij} \rangle_q) = \langle s_{ij} \rangle_q \langle s_{ij} \rangle_q \quad (q = 1, \dots, n) \quad (2.1)$$

Функции изотропного упрочнения составляющих зададим в виде

$$\varphi_q(\gamma_q) = a_q(\gamma_q + b_q)^{p_q}$$

$$\varphi_q(0) = \tau_q^2 \quad (q = 1, \dots, n) \quad (2.2)$$

где τ_q — пределы текучести фаз; a_q, b_q, p_q — константы материалов, подлежащие определению по экспериментальным кривым деформирования компонентов при какой-либо известной программе нагружения.

Выбирая в качестве меры изотропного упрочнения работу пластической деформации (1.3), из (2.1), (2.2) и (1.5) получим ассоциированный закон течения для q -й составляющей

$$d\langle \varepsilon_{ij} \rangle_q = D_q \langle s_{ij} \rangle_q (\langle s_{mn} \rangle_q \langle s_{mn} \rangle_q)^{1/2} \langle s_{kl} \rangle_q d\langle s_{kl} \rangle_q$$

$$\langle s_{kl} \rangle_q d\langle s_{kl} \rangle_q > 0 \quad (2.3)$$

$$d\langle \varepsilon_{ij} \rangle_q = 0 \quad (\langle s_{kl} \rangle_q d\langle s_{kl} \rangle_q \leq 0)$$

$$D_q = 2/(p_q a_q^2); \quad L_q = (1 - 2p_q)r_q, \quad r_q = p_q^{-1}$$

Рассмотрим растяжение композита напряжением $\langle \sigma_{11} \rangle = \sigma$. В q -м компоненте будем иметь

$$\langle s_{11} \rangle_q = 2/3 \sigma_q, \quad \langle s_{22} \rangle_q = \langle s_{33} \rangle_q = -1/3 \sigma_q$$

$$\langle s_{12} \rangle_q = \langle s_{13} \rangle_q = \langle s_{23} \rangle_q = 0 \quad (2.4)$$

Из (2.3) и (2.4) получим

$$d\varepsilon_q = \frac{2}{p_q} \left(\frac{2}{3a_q} \right)^{r_q} (\sigma_q)^{n_q} d\sigma_q, \quad \sigma_q d\sigma_q > 0$$

$$d\varepsilon_q = 0, \quad \sigma_q d\sigma_q \leq 0 \quad (2.5)$$

$$\sigma_q = \langle \sigma_{11} \rangle_q, \quad \varepsilon_q = \langle \varepsilon_{11} \rangle_q, \quad m_q = 2(1 - p_q)r_q$$

Соотношения (2.5) при монотонном нагружении допускают интегрирование и позволяют определить коэффициенты упрочнения составляющих по экспериментальным кривым растяжения соответствующих материалов, для q -того элемента

$$\varepsilon_q^0 = A_q (\sigma_q^z - 1), \quad \sigma_q = \sigma_q^0 \sigma_{0q}^{-1/z}, \quad \sigma_q \geq 1 \quad (2.6)$$

$$A_q = \frac{2}{2 - p_q} \left(\frac{2}{3a_q} \right)^{r_q} (\sigma_{0q})^{zq}, \quad z_q = \frac{2 - p_q}{p_q}$$

где $\sigma_q^0, \varepsilon_q^0$ — напряжения и пластические деформации в образце из q -го материала при растяжении, σ_{0q} — предел текучести.

Из соотношений (1.15) и (2.5) найдем зависимость между приращениями напряжений и пластических деформаций в q -м компоненте композита

$$d\sigma_q = 3\mu_0 m_q^0 \left[d\eta - \xi_q (1 - \alpha_0) \frac{2}{p_q} \left(\frac{2}{3a_q} \right)^{r_q} (\sigma_q)^{n_q} d\sigma \right], \quad \eta = \eta_{11} \quad (2.7)$$

$$\xi_q = 1, \quad \sigma_q d\sigma_q > 0 \quad \forall \quad \sigma_q \geq \sigma_{0q}$$

$$\xi_q = 0, \quad \sigma_q d\sigma_q \leq 0 \quad \wedge \quad \sigma_q < \sigma_{0q}$$

Проводя интегрирование в (2.7) в пределах от σ_{0q} до σ_q , получим (H_0 — модуль Юнга):

$$\sigma_q + \xi_q B_q (\sigma_{0q}^2 + \sigma_{0q}^2) = m_q^0 \theta \quad (2.8)$$

$$\theta = \sigma + 3\mu_0 (1 - \alpha_0) E = (1 - \alpha_0) H_0 E + \alpha_0 \sigma \quad (2.9)$$

$$B_q = 0 \quad (q = 1, \dots, m)$$

$$B_q = 3\mu_0 (1 - \alpha_0) A_q (\sigma_{0q})^{-2q} \quad (q = m + 1, \dots, n)$$

$$E = \langle E_{11} \rangle, \quad \mathbf{E} = \mathbf{E}_{11}$$

При интегрировании в (2.8) учтено, что $\sigma_{0q} = m_q^0 \theta_{0q}$, где θ_{0q} — значение параметра θ , при котором начинаются пластические деформации в q -м компоненте среды. Величины θ_{0q} ($q = 1, \dots, n$), расположенные в порядке их возрастания, определяют очередность вступления компонентов в состояние текучести.

Соотношения (2.8) позволяют построить кривую упругопластического деформирования среды при растяжении (или любым простым нагружением) по следующей схеме. При заданных объемных концентрациях составляющих v_1, \dots, v_n для каждого значения θ из (2.8) определяются напряжения в компонентах σ_q , затем по правилу смесей (1.20) — макроскопические напряжения σ , и из соотношения (2.9) — макроскопические деформации E и \mathbf{E} .

Расчет диаграмм деформирования был проведен для двухкомпонентного композиционного материала, полученного путем пропитки каркаса из спеченного вольфрамового порошка расплавом меди. На фиг. 1 приведены аппроксимации экспериментальных кривых растяжения элементов композиции по данным из [7—9] зависимостями (2.6). По оси абсцисс откладывалась пластическая деформация в процентах, по оси ординат — безразмерное растягивающее напряжение $\sigma_{q*} = \sigma \sigma_{0q}^{-1}$, где $q = 1$ соответствует вольфраму (кривая 1), а $q = 2$ — меди (кривая 2).

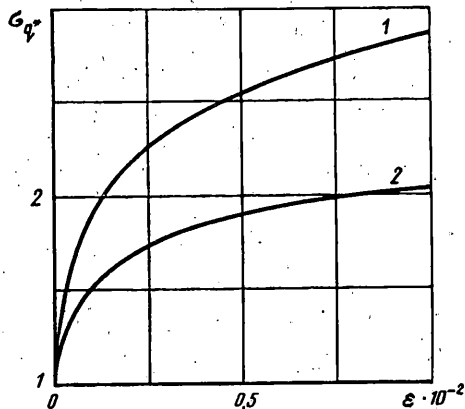
Для расчетов были использованы следующие значения упругих констант и параметров упрочнения: $H_1 = 413$ ГПа, $\mu_1 = 159$ ГПа, $\sigma_{01} = 0,36$ ГПа, $A_1 = 2,080 \times 10^{-4}$, $z_1 = 5,9$ (вольфрам); $H_2 = 123$ ГПа, $\mu_2 = 18,05$ ГПа, $\sigma_{02} = 0,038$ ГПа, $A_2 = 2,02 \times 10^{-5}$, $z_2 = 8,5$ (медь); где H_1, H_2 — модули Юнга компонентов.

На фиг. 2 представлена зависимость модуля Юнга композита, рассчитанная по уравнениям (1.27), от объемной концентрации вольфрама (кривая 2). Кривые 1, 3 соответствуют границе вилки Кашина — Штрикмана: 1 — однородная деформация, 3 — однородное напряженное состояние. На этой же фигуре приведены экспериментальные значения модуля упругости для сред разной структуры по данным из [8]: темные точки соответствуют медной матрице, армированной одноориентированными вольфрамовыми волокнами, кресты — медной матрице с диспергированным вольфрамом, светлые точки — сплошному вольфрамовому каркасу с диспергированной медью.

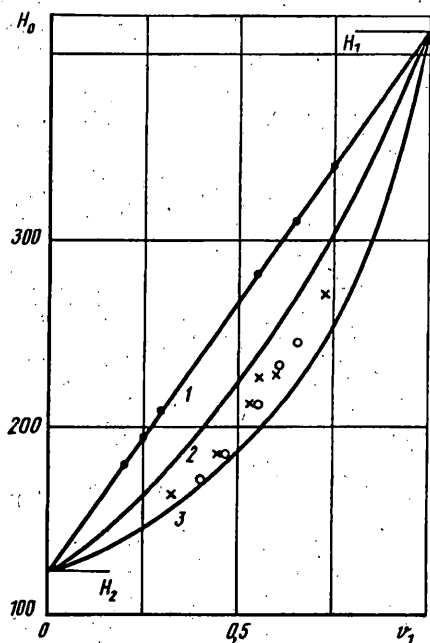
Расчетные диаграммы упругопластического деформирования порошковой композиции вольфрам-медь при различном объемном содержании вольфрама изображены на фиг. 3 сплошными линиями, штриховые кривые соответствуют экспериментальным данным работы [8].

Выбирались следующие значения объемной концентрации вольфрама: 1 — $v_1 = 0,662$, 2 — $v_1 = 0,582$, 3 — $v_1 = 0,512$, 4 — $v_1 = 0,464$, 5 — $v_1 = 0,412$.

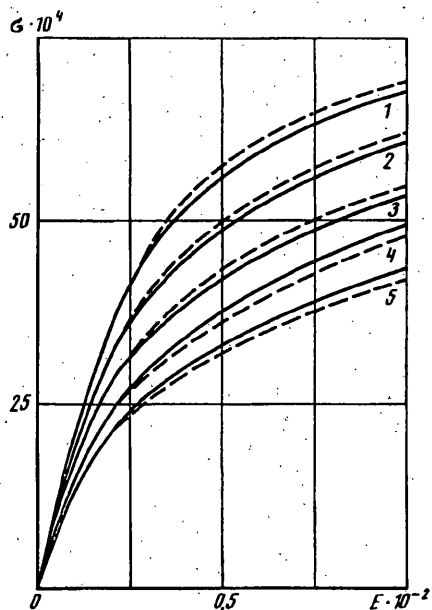
Наблюдающиеся отклонения теоретических кривых на фиг. 3 от экспериментальных объясняются отсутствием опытных данных для компонентов вольфрамово-медной композиции из [8]. Вследствие преобладающего влияния вольфрамового каркаса при пластическом деформировании композита, диаграмма его упрочнения по данным из [7, 9] уточнялась по экспериментальной зависимости 1 на фиг. 3 для композита с наибольшей объемной концентрацией вольфрама, что давало заниженные значения для параметров упрочнения вольфрама (кривая 1, фиг. 1). Для меди же использовались опытные результаты [7, 9], дающие, по-видимому, завышенные значения параметров упрочнения этой фазы (кривая 2, фиг. 1).



Фиг. 1



Фиг. 2



Фиг. 3

При общем достаточно хорошем совпадении теоретических и экспериментальных зависимостей для композита, это приводило к заниженным значениям расчетных напряжений при $\nu_1 > 0,5$ (кривые 1, 2, 3 на фиг. 3) и завышенным — при $\nu_1 < 0,5$ (кривые 4, 5 на фиг. 3).

3. Рассмотрим догрузку напряжениями σ_α под углом α к оси первоначального растяжения в пластической области. В проекциях на прежние оси компоненты девиатора напряжений догрузки будут иметь значения:

$$\langle \dot{s}_{11} \rangle = a_1 \dot{\sigma}_\alpha, \quad \langle \dot{s}_{22} \rangle = a_2 \dot{\sigma}_\alpha, \quad \langle \dot{s}_{33} \rangle = a_3 \dot{\sigma}_\alpha$$

$$\langle \dot{s}_{12} \rangle = a_{12} \dot{\sigma}_\alpha, \quad \langle \dot{s}_{23} \rangle = \langle \dot{s}_{13} \rangle = 0 \quad (3.1)$$

$$a_1 = \frac{2 - \chi^2}{3(1 + \chi^2)}, \quad a_2 = \frac{2\chi^2 - 1}{3(1 + \chi^2)}, \quad a_{12} = \frac{\chi}{1 + \chi}, \quad a_3 = -\frac{1}{3} \quad (3.2)$$

$$\chi = \operatorname{tg} \alpha$$

Определим компоненты девиаторов догрузки в составляющих композита $\langle s_{kl} \rangle_q$ ($q = 1, \dots, n$). Выбирая уравнения поверхностей нагружения в виде (2.1), а функции упрочнения в форме (2.2), из (1.9) найдем тензор $\Phi_{ijkl}^{(q)}$ в момент догрузки

$$\Phi_{ijkl}^{(q)} = F_q \langle s_{ij} \rangle_q \langle s_{kl} \rangle_q \quad (3.3)$$

$$F_q = \frac{2}{p_q \alpha_q^q} (\langle s_{mn} \rangle_q \langle s_{mn} \rangle_q)^{1/q}$$

При растяжении напряжениями $\langle \sigma_{11} \rangle$ компоненты девиаторов локальных напряжений определялись соотношениями (2.4), поэтому для F_q получим

$$F_q = \frac{9}{2p_q} \left(\frac{2}{3a_q} \right)^{1/q} (\sigma_q)^{2/q} \quad (3.4)$$

Из (3.3) и (3.4) определим ненулевые компоненты $\Phi_{ijkl}^{(q)}$:

$$\Phi_{1111}^{(q)} = c_q, \quad \Phi_{1122}^{(q)} = \Phi_{1133}^{(q)} = -1/2 c_q, \quad \Phi_{2222}^{(q)} = \Phi_{2233}^{(q)} = \Phi_{3333}^{(q)} = 1/4 c_q \quad (3.5)$$

$$c_q = \frac{2}{p_q} \left(\frac{2}{3a_q} \right)^{1/q} (\sigma_q)^{2/q-1} = \frac{z_q A_q}{\sigma_{0q}} (\sigma_{q*})^{z_q-1} \quad (3.6)$$

где c_q^{-1} — касательный пластический модуль диаграммы растяжения q -го компонента, A_q и z_q соответствует (2.6).

Пластические деформации в составляющих композита при догрузке найдем из (1.8):

$$\begin{aligned} \langle \dot{\epsilon}_{11} \rangle_q &= 3/2 c_q \langle \dot{s}_{11} \rangle_q, \quad \langle \dot{\epsilon}_{22} \rangle_q = \langle \dot{\epsilon}_{33} \rangle_q = -3/4 c_q \langle \dot{s}_{11} \rangle_q \\ \langle \dot{\epsilon}_{12} \rangle_q &= \langle \dot{\epsilon}_{13} \rangle_q = \langle \dot{\epsilon}_{33} \rangle_q \end{aligned} \quad (3.7)$$

Подставляя выражения (3.7) в первое из соотношений (1.15), разрешим полученную систему уравнений относительно $\langle \dot{s}_{ij} \rangle_q$. Тогда найдем

$$\langle \dot{s}_{11} \rangle_q = d_q \dot{\theta}_{11}, \quad \langle \dot{s}_{22} \rangle_q = 1/2 (m_q^0 - d_q) \dot{\theta}_{11} + m_q^0 \dot{\theta}_{22} \quad (3.8)$$

$$\langle \dot{s}_{33} \rangle_q = -1/2 (m_q^0 + d_q) \dot{\theta}_{11} - m_q^0 \dot{\theta}_{22}, \quad \langle \dot{s}_{12} \rangle_q = m_q^0 \dot{\theta}_{12}$$

$$\dot{\theta}_{ij} = 2\mu_0 (1 - \alpha_0) \langle \dot{\epsilon}_{ij} \rangle + \alpha_0 \langle \dot{s}_{ij} \rangle \quad (3.9)$$

$$d_q = m_q^0 [1 + 3\mu_0 (1 - \alpha_0) c_q m_q^0]^{-1}$$

Для составляющих девиатора напряжений в композите из (1.20) с учетом (3.8) получим

$$\langle \dot{s}_{11} \rangle = \langle d \rangle \dot{\theta}_{11}, \quad \langle \dot{s}_{22} \rangle = 1/2 (1 - \langle d \rangle) \dot{\theta}_{11} + \dot{\theta}_{22}$$

$$\langle \dot{s}_{33} \rangle = -1/2 (1 + \langle d \rangle) \dot{\theta}_{11} - \dot{\theta}_{22}, \quad \langle \dot{s}_{12} \rangle = \dot{\theta}_{12} \quad (3.10)$$

$$\langle d \rangle = \sum_{q=1}^n v_q d_q$$

причем для упругих составляющих ($q = 1, \dots, p$) $d_q = m_q^0$, так как $c_q = 0$.

Разрешим уравнения (3.10) относительно девиаторов полных макроскопических деформаций материала. С учетом первого из соотношений (3.9) и равенств (3.1), найдем их компоненты в плоскости нагружения:

N	$\langle \epsilon \rangle / \epsilon_{01}$	ϵ_{2*}	ϵ_{1*}	$\langle d \rangle$
1	$< 0,14$	$< 1,0$	$\langle 0,19 \rangle$	$> 0,87$
2	0,14	1,0	0,19	0,87
3	0,157	1,1	0,214	0,796
4	0,196	1,3	0,281	0,668
5	0,512	1,61	0,999	0,585
6	0,512	1,61	1,0	0,556
7	0,726	1,751	1,5	0,318
8	0,937	1,825	2,0	0,218
9	1,368	2,130	3,0	0,046
10	1,802	2,490	4,0	0,012

$$\langle \dot{\epsilon}_{11} \rangle = \frac{1 - \alpha_0 \langle d \rangle}{2\mu_0 (1 - \alpha_0) \langle d \rangle} a_1 \dot{\sigma}_\alpha, \quad \langle \dot{\epsilon}_{12} \rangle = \frac{a_{12}}{2\mu_0} \dot{\sigma}_\alpha$$

$$\langle \dot{\epsilon}_{22} \rangle = \frac{1}{2\mu_0} \left[a_2 - \frac{(1 - \langle d \rangle) a_1}{2(1 - \alpha_0) \langle d \rangle} \right] \dot{\sigma}_\alpha \quad (3.11)$$

Полные деформации определяются по формулам

$$\langle \dot{E}_{ij} \rangle = \langle \dot{\epsilon}_{ij} \rangle + 1/9 \langle \dot{\sigma}_{ij} \rangle \delta_{ij} / K_0, \quad \langle \dot{\sigma}_{ij} \rangle = \dot{\sigma}_\alpha \quad (3.12)$$

Вычислим продольный модуль композита в направлении догрузки из соотношения

$$\dot{\sigma}_\alpha = H_\alpha \dot{E}_\alpha \quad (3.13)$$

где \dot{E}_α — приращение полной макроскопической деформации в направлении догрузки. Для \dot{E}_α будем иметь

$$\dot{E}_\alpha = l_{\alpha k} l_{\alpha j} \langle \dot{E}_{kj} \rangle = \langle \dot{\epsilon}_\alpha \rangle + 1/9 \langle \dot{\sigma}_{ij} \rangle \delta_{ij} / K_0 \quad (3.14)$$

$$\langle \dot{\epsilon}_\alpha \rangle = \langle \dot{\epsilon}_{11} \rangle \cos^2 \alpha + \langle \dot{\epsilon}_{22} \rangle \sin^2 \alpha + \langle \dot{\epsilon}_{12} \rangle \sin 2\alpha$$

где $l_{\alpha k}$ — косинус угла между направлением догрузки и k -й осью тензора первоначального нагружения.

Из соотношений (3.11)–(3.14) найдем

$$H_\alpha = 2\mu_0 \left[\frac{(t-2)^2 + 3\langle d \rangle t(4+t)}{6(1-\alpha_0)\langle d \rangle(1+t)^2} - \zeta_0 \right]^{-1} \quad (3.15)$$

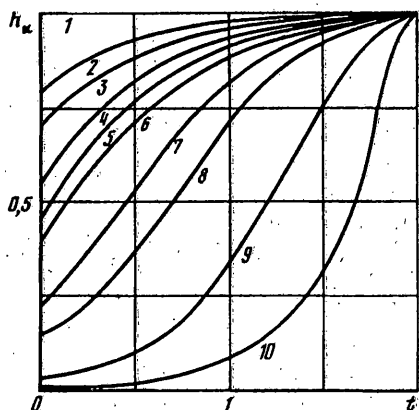
$$\zeta_0 = \frac{1}{3} \left(\frac{2\alpha_0}{1-\alpha_0} - \frac{1-2\nu_0}{1+\nu_0} \right), \quad t = \operatorname{tg}^2 \alpha$$

Условие активного нагружения в рассматриваемом случае принимает вид

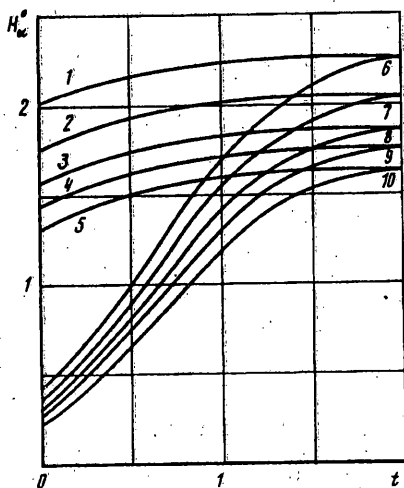
$$a_i \sigma_q \dot{\sigma}_\alpha > 0 \quad (3.16)$$

где $\sigma_q = \langle \sigma_{11} \rangle_q$ — среднее напряжение в q -м компоненте композита к моменту догрузки. При предварительном растяжении $\sigma_q > 0$, и из соотношений (3.16) и (3.2) находим области активной догрузки: $|\operatorname{tg} \alpha| < \sqrt{2}$, при $\dot{\sigma}_\alpha > 0$ (растяжение), $|\operatorname{tg} \alpha| > \sqrt{2}$, при $\dot{\sigma}_\alpha < 0$ (сжатие). Вне указанных границ догрузка осуществляется упругим образом.

На фиг. 4 представлены зависимости безразмерного модуля догрузки



Фиг. 4



Фиг. 5

$h_\alpha = H_\alpha H_0^{-1}$ (H_0 — модуль Юнга композита) от параметра $t = \text{tg}^2 \alpha$ при различной глубине предварительного пластического деформирования (таблица) для композиции вольфрам — медь с объемной концентрацией вольфрама $v_f = 0,412$. В таблице N — номера кривых, кривая 1 соответствует стадии деформирования материала при двух упругих компонентах, кривые 2—5 — стадии с пластической медью и упругим вольфрамом, кривые 6—10 — стадии пластического деформирования обоих компонентов композиции.

Зависимость модуля догрузки $H_\alpha^0 = H_\alpha H_{02}^{-1}$ (H_{02} — модуль Юнга меди) от параметра t при различной объемной концентрации вольфрама изображена на фиг. 5: 1,6 — $v_f = 0,662$; 2,7 — $v_f = 0,582$; 3,8 — $v_f = 0,512$; 4,9 — $v_f = 0,464$; 5, 10 — $v_f = 0,412$. Кривые 1—5 соответствуют напряженно-деформированному состоянию композита при $\sigma_{2*} = 1$, кривые 6—10 — $\sigma_{1*} = 2$.

СПИСОК ЛИТЕРАТУРЫ

1. Сараев Л. А. Уругопластические свойства многокомпонентных композиционных материалов//ПМТФ. 1988. № 4. С. 124 — 130.
2. Дудукаленко В. В., Смыслов Ю. А. К расчету предела пластичности пористых материалов//Прикл. механика. 1980. Т. 16. № 5. С. 32—36.
3. Волоховская О. А., Подалков В. В. О пластическом деформировании изотропно упрочняющегося поликристаллического материала//ПМТФ. 1991. № 5. С. 148—153.
4. Качанов Л. М. Основы теории пластичности. М.: Наука, 1969. 420 с.
5. Эшелби Д. Континуальная теория дислокаций. М.: Изд-во Иностран. лит., 1963. 247 с.
6. Шермергор Т. Д. Теория упругости микронеоднородных сред. М.: Наука, 1977. 399 с.
7. Свойства элементов: Справочник. Ч. I. Физические свойства/Под редакцией Г. В. Самсонова. М.: Металлургия, 1976. 599 с.
8. Крок Р. Неорганические порошковые композиции//Современные композиционные материалы/Под ред. Л. Браутмана и Р. Крока. М.: Мир. 1970. С. 555—583.
9. Хонникомб Р. Пластическая деформация металлов. М.: Мир, 1972, 408 с.

Москва

Поступила в редакцию
13.И.1992